

# ВЫСОКОМОЛЕКУЛЯРНЫЕ СОЕДИНЕНИЯ

Краткие сообщения

Том (Б) 34

1992

№ 11

УДК 541.64 : 543.422.4

© 1992 г. С. В. Григорьева, Л. М. Кузнецова, Л. И. Маклаков

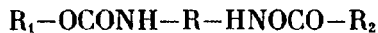
## ДЛИННОВОЛНОВЫЕ ИНФРАКРАСНЫЕ СПЕКТРЫ УРЕТАНОВ И ПОЛИУРЕТАНОВ

Изучены длинноволновые ИК-спектры поглощения ( $50-400 \text{ см}^{-1}$ ) серии низкомолекулярных уретанов и литьевых полиуретанов. Проведена эмпирическая интерпретация спектров и с помощью низкотемпературных исследований установлена область собственных колебаний водородной связи.

Полиуретаны и низкомолекулярные уретановые соединения весьма широко изучены методами спектроскопии в средней ИК-области [1]. Однако практически отсутствуют работы, касающиеся исследований этих объектов в длинноволновой ИК-области, хотя именно в ней должны проявляться собственные колебания водородных связей, имеющих значительное влияние на свойства уретановых систем.

Низкочастотная ИК-спектроскопия полимеров имеет свою специфику [2, 3], определяющуюся теми типами колебаний, которые могут проявляться в данной области. Это скелетные и торсионные колебания цепей полимеров, колебания кристаллических решеток, низкочастотные «дыхательные» колебания спиральных полимеров и собственные колебания водородных связей. Детальная интерпретация спектров в длинноволновой ИК-области обычно сложна, поскольку для этого необходимо знать строение пространственной кристаллической ячейки, что возможно лишь для сравнительно простых по химическому строению полимеров. В последнем случае проводят теоретический расчет нормальных колебаний [4], что позволяет выполнить отнесение полос и дать их полную интерпретацию. Так как работ по исследованию ИК-спектров уретанов в низкочастотной области практически нет, для интерпретации их спектров на первом этапе необходим подход, обычно используемый в таких случаях спектроскопистами — изучение родственных по структуре соединений и выделение полос, связанных с колебаниями определенных химических групп.

В настоящей работе проведено изучение длинноволновых ИК-спектров ( $50-400 \text{ см}^{-1}$ ) серии модельных уретановых соединений — диуретанов общей формулы



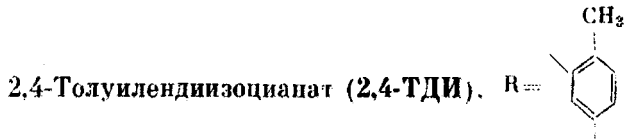
Диуретаны были синтезированы на основе следующих дизоцианатов. 1,6-Гексаметилендиизоцианат (ГМДИ),  $R=(-CH_2)_6$

$$R_1=R_2=CH_3 \quad (1)$$

$$R_1=CH_3, R_2=n-C_4H_9 \quad (2)$$

$$R_1=CH_3, R_2=n-C_{10}H_{21} \quad (3)$$



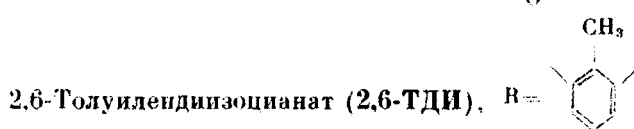


$$R_1 = R_2 = CD_3 \quad (5)$$

$$R_1 = R_2 = C_2H_5 \quad (6)$$

$$R_1 = R_2 = n-C_4H_9 \quad (7)$$

$$R_1 = R_2 = CH_2 - CH - CH_2 \quad (8)$$



$$R_1 = R_2 = CH_3 \quad (9)$$

Большинство указанных диуретанов являются кристаллическими. В работах [5, 6] проведено изучение этих соединений методами рентгено-графии, ДТА, ИК-спектроскопии средней области. В работе [7] представлены ИК-спектры в области 200–500 см<sup>-1</sup> для соединений 1, 4, 6 и 9.

Съемку спектров в длинноволновой ИК-области (50–400 см<sup>-1</sup>) проводили на дифракционном спектрометре FIS-3 фирмы «Hitachi». Образцы, температура плавления которых выше 130° (1, 2, 3, 5 и 9), были запрессованы в полиэтиленовых дисках. Образцы 7, 8 приготовлены в виде суспензии в вазелиновом масле: соединение 4 получено выпариванием из раствора в ДМФА, образец 6 — кристаллизовали из расплава. Спектры при низкой температуре снимали в криостате с охлаждением жидким азотом. Температура образца, измеряемая термопарой медь — константан, составляла –140°. Так как образцы прессовали в дисках из ПЭ или наносили на пластину из ПЭ, в спектрах присутствует полоса в области 70 см<sup>-1</sup>, относящаяся к решетчатым колебаниям ПЭ и смещающаяся при понижении температуры в высокочастотную область. Разрывы в приведенных спектрах связаны со сменой дифракционных решеток в приборе.

Полученные спектры и полосы поглощения представлены на рис. 1 и в таблице. Видно, что с некоторой стабильностью во всех соединениях наблюдаются полосы поглощения в областях 110–114, 122–132, 140–170, 180–230, 270–290, 306–340 и 360–375 см<sup>-1</sup>. Так как единственной группой, содержащейся во всех соединениях, является уретановая, логично связать наблюдаемые полосы с колебаниями именно этой группы. В низкочастотной области спектра следует ожидать проявления двух типов внутримолекулярных колебаний — деформаций остова уретанового фрагмента и торсионных колебаний. Согласно расчетам частот нормальных колебаний метил-N-метилкарбамата [8, 9] и этилкарбамата [7], к скелетным колебаниям уретановой группы отнесены наблюдаемые полосы в области 360 и 250 см<sup>-1</sup>. В молекуле диуретана 1 расчет [10] предсказывает большее число скелетных колебаний, к которым отнесены полосы 331 см<sup>-1</sup> (ИК-спектры), 360, 250, 198, 161 и 90 см<sup>-1</sup> (спектры комбинационного рассеяния). Исходя из этого можно считать, что области поглощения 360–375, 306–340, 250–290 см<sup>-1</sup> связаны со скелетными колебаниями уретановой группы. По данным работы [11], в последнем диапазоне волновых чисел лежат и торсионные колебания метиленовых групп (–CH<sub>2</sub>–). Это подтверждается и нашими данными, поскольку во всех диуретанах на основе ГМДИ имеются полосы 250–270 см<sup>-1</sup>. Низкочастотные колебания в области 200, 150 и 125 см<sup>-1</sup>, а также наблюдаемые в некоторых диуретанах полосы в области 115 и 90 см<sup>-1</sup> интерпретировать сложнее, так как,

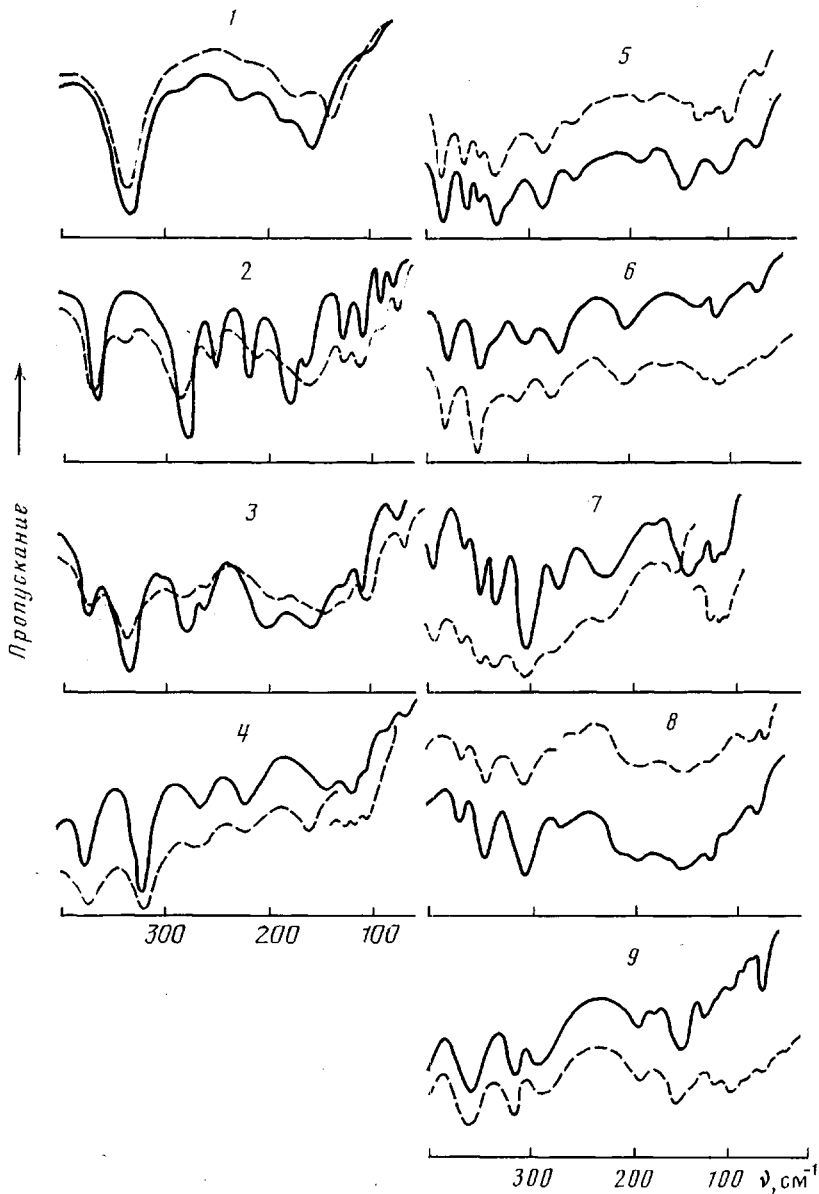


Рис. 1. ИК-спектры поглощения диуретана 1–9 соответственно в области 50–400  $\text{см}^{-1}$ , полученные при  $-140^{\circ}$  (сплошные кривые) и при комнатной температуре (штриховые)

согласно расчетам, они могут быть обусловлены как торсионными [7] и скелетными [8], так и смешанными колебаниями разного типа [4]. Поэтому отнесение указанных полос, приведенное в таблице, является предварительным, и окончательные выводы можно будет сделать только после проведения детального расчета нормальных колебаний.

Дополнительно следует отметить особенности в спектрах некоторых соединений. Так, в диуретане 1 нет полосы в области 360–375 и 250  $\text{см}^{-1}$ . Согласно расчетам изолированной плоской молекулы диуретана 1, эти колебания разрешены лишь в спектрах комбинационного рассеяния, где сим-

Полосы, наблюдавшиеся в диуретанах в дальней ИК-области

Характерные полосы ( $\text{см}^{-1}$ ) для диуретанов									Отнесение *
1	2	3	4	5	6	7	8	9	
	86						89		$\tau(\text{OCONH})$
102 (—)	109 (108)	108 (111)	108 (—)	104 (110)	110 (110)	110 (—)	108 сл (108)	104 (111)	$\nu(\text{NH}\dots\text{O})$
—	—	—	117	—	118 (124)	116 126	—	—	$\tau, \delta(\text{OCONH})$
—	125	125	128	126	—	—	124	122(134)	
135, 170 (155, 178)	160 (161, 178)	145 (170)	161 (150)	136, 150 (146)	167, 130 (140)	160 (150)	154 (154)	158 (158)	$\nu(\text{NH}\dots\text{O})$ $\tau, \delta(\text{OCONH})$
215	214	195	226	188	210	228	200	193	$\tau(\text{OCONH})$
—	250	267	266	257	—	—	262	—	$\tau(\text{CH}_2)_6$
—	283	285	—	286	276	278	—	290	$\delta(\text{OCONH})$
330	340	330	319	334	343	307 336	308	316	$\delta(\text{OCONH})$
—	—	—	—	347	350	350	348	—	бензольное кольцо
—	368	375	374	363 385	—	368 395	370	360	бензольное кольцо, эпоксицикл, $\delta(\text{OCONH})$
1692	1682	1684	1675 1710	1685 1710	1690	1695 1705	1690 1730	1695 1720	Амид I
3340	3328	3328	3330	3250	3280	3275	3270 3340	3245	$\nu_{\text{связ}}(\text{NH})$

*Примечание.* Волновые числа приведены для комнатной температуры. В скобках — частоты тех полос, которые сместились при понижении температуры  $-140^\circ$ . Дополнительно представлены данные в области валентных колебаний NH и Амид I.

\*  $\nu$  — валентные,  $\delta$  — деформационные,  $\tau$  — торсионные колебания.

метрия элементарной ячейки, по-видимому, не нарушает правил отбора. И действительно, в спектре комбинационного рассеяния [10] эти колебания четко проявляются. Возможно, отсутствие полосы  $280 \text{ см}^{-1}$  в диуретане 4 обусловлено аналогичными причинами. В диуретанах, синтезированных на основе ТДИ, должны проявляться полосы, связанные с колебаниями бензольного кольца. Исходя из наших спектров, к поглощению бензольных колец можно отнести полосы в области  $350$  и  $380 \text{ см}^{-1}$ , так как они, как правило, проявляются в этих образцах. Известно, что в спектрах моно- [12] и дизамещенных бензола [13] наблюдается поглощение в указанной области. К сожалению, данных по тризамещенным бензолам в нашем распоряжении нет. В спектрах эпоксиуретановых соединений 4 и 8 можно ожидать появления полос, связанных с колебаниями эпоксидного кольца, так как в снятых нами спектрах эпихлоргидрина и эпоксидной смолы ЭД-22 в области  $370 \text{ см}^{-1}$  имеется довольно сильное поглощение. В спектрах соединений 4 и 8 в этой области наблюдаются полосы, которые отнесены нами к поглощению уретановой группы и бензольных колец. Возможно, здесь имеется наложение полос колебаний разного типа. В изучаемую область спектра попадают и торсионные колебания концевых групп  $-\text{CH}_3$ ,  $-\text{C}_2\text{H}_5$  и  $-\text{C}_4\text{H}_9$  некоторых диуретанов, но судя по спектрам предельных углеводородов [14], они, как правило, не наблюдаются.

Рассмотрим вопрос о проявлении собственных колебаний межмолекулярных водородных связей в изучаемых соединениях. Колебания такого типа обычно лежат в области  $100$ – $200 \text{ см}^{-1}$  [15]. Одним из признаков, позволяющим идентифицировать такие колебания, является высокочастотный сдвиг соответствующих полос при понижении температуры. Из сравнения спектров, снятых при  $25^\circ$  и  $-140^\circ$  и представленных на рис. 1, видно, что основные изменения действительно происходят в области ниже  $200 \text{ см}^{-1}$ . В работе [11] при исследовании полиуретана, синтезированного на основе двух ароматических дизоцианатов, показано, что собственные колебания межмолекулярных водородных связей проявляются около  $100 \text{ см}^{-1}$ . Картина, наблюдалась в диуретанах в этой области, сложна вследствие наложения полос и судить о поведении полос поглощения при изменении температуры в ряде случаев трудно. Как видно из таблицы, в диуретанах полоса  $100 \text{ см}^{-1}$  проявляется практически всегда, но однозначное смещение в высокочастотную сторону при понижении температуры установлено лишь для диуретанов 3 и 5.

В изученных соединениях есть еще одна область, где в спектрах наблюдаются существенные изменения с понижением температуры –  $130$ – $180 \text{ см}^{-1}$ . Особенно ярко выражены смещения полос в диуретанах на основе ГМДИ. В диуретане 1 две полосы  $135$  и  $170 \text{ см}^{-1}$  смещаются к  $155$  и  $178 \text{ см}^{-1}$ , в соединении 2 происходит расщепление полосы  $160 \text{ см}^{-1}$  на две компоненты –  $161$  и  $178 \text{ см}^{-1}$ , в диуретане 3 полоса  $145 \text{ см}^{-1}$  сдвигается к  $170 \text{ см}^{-1}$ . В спектре диуретана 4 в этой области тоже есть изменения, но картина, по-видимому, усложняется другими факторами, так как при понижении температуры полоса  $160 \text{ см}^{-1}$  смещается в низкочастотную сторону. Можно предположить, что область  $130$ – $180 \text{ см}^{-1}$  также обусловлена колебаниями межуретановой водородной связи. Вероятно, она имеет структуру, отличающуюся от той, которая проявляется на частоте в области  $100 \text{ см}^{-1}$ . Область  $130$ – $180 \text{ см}^{-1}$  больше характерна для диуретанов на основе алифатического дизоцианата, а  $100 \text{ см}^{-1}$  – для соединений на основе ароматических дизоцианатов.

Некоторым подтверждением существования различных типов водородных связей в этих двух случаях является то, что частоты валентных колебаний групп  $\text{NH}$  лежат в разных областях: в диуретанах на основе ТДИ – в области  $3245$ – $3280 \text{ см}^{-1}$  (исключение составляет диуретан 8, где

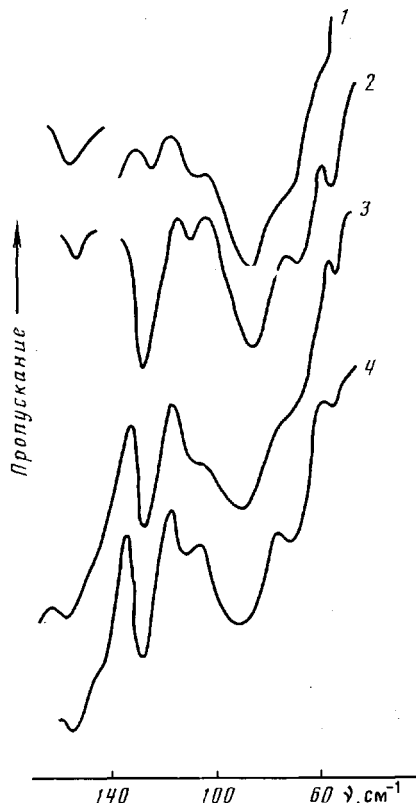


Рис. 2. ИК-спектры поглощения литьевых полиуретанов, полученных взаимодействием олигоэтиленгликольадипината с дифенилметандиизоцианатом при  $\text{NCO} : \text{OH} = 1,5 : 1$  (1),  $3 : 1$  (2), а также на основе олигоэтиленгликольадипината с 2,4-толуилендиизоцианатом при соотношении  $\text{NCO} : \text{OH} = 3 : 1$  (3) и  $5 : 1$  (4)

наблюдается две полосы), в диуретанах на основе ГМДИ – в области  $3328–3340 \text{ см}^{-1}$  (таблица). Картина проявления водородных связей в далекой ИК-области сложна и, в частности, непонятны причины проявления не одной, а двух смещающихся полос в диуретанах на основе ГМДИ. Нет какой-либо корреляции (кроме отмеченной выше) между частотами собственных валентных колебаний Н-связи в области  $105 \text{ см}^{-1}$  (или  $140–180 \text{ см}^{-1}$ ) и частотам валентных колебаний, связанных с группами NH и C=O в области  $3330$  и  $1690 \text{ см}^{-1}$ , поскольку последние в некоторых случаях проявляются в виде одиночных полос, в других – в виде дублетов.

Полученные результаты по ИК-спектрам диуретанов в дальней области применимы к интерпретации спектров полиуретановых систем. В работе [16] изучены литьевые полиуретаны, полученные взаимодействием олигоэтиленгликольадипината с 2,4-толуилендиизоцианатом и дифенилметандиизоцианатом в присутствии оснований Манниха при соотношении NCO : OH от  $1,25 : 1$  до  $7 : 1$ . В таких полиуретановых сетках имеется система водородных связей, и интересно сравнить спектры модельных уретанов и полиуретанов в далекой области. Спектры, снятые с пленок серии полиуретанов в области  $50–200 \text{ см}^{-1}$  (данные по высокочастотной области приведены в работе [16]), проявляют удивительную стабильность картины поглощения (рис. 2). Она практически не зависит от природы ароматического диизоцианата, не зависит и от отношения NCO : OH. Четко проявляются полосы  $152$ ,  $126$ ,  $105$ ,  $85$ ,  $68$  и  $52 \text{ см}^{-1}$ . Первые три полосы поглощения постоянно наблюдаются в изученных диуретанах; полоса  $85 \text{ см}^{-1}$ , имеющая несимметричную форму, иногда разрешается на более узкие полосы  $92$  и  $85 \text{ см}^{-1}$ . Несколько неожиданным является четкое и стабильное проявление сильной полосы  $85 \text{ см}^{-1}$ , которая характерна только для

диуретанов 2 и 8 в виде слабой полосы. Очень слабое поглощение при  $52 \text{ см}^{-1}$  в низкомолекулярных уретанах не наблюдалось вообще.

Таким образом, представленные данные по изучению ИК-спектров в дальней области позволили провести их эмпирическую интерпретацию и установить область собственных колебаний водородных связей в уретановых системах.

#### СПИСОК ЛИТЕРАТУРЫ

1. Ватулов В. Н., Лапий С. В., Керча Ю. Ю. Инфракрасные спектры и структура полиуретанов. Киев, 1987. 188 с.
2. Frank W. F. X., Leute U. // Infrared and Millimeter Waves. 1983. V. 8. № 1. P. 51.
3. Rabolt J. F. // Infrared and Millimeter Waves. 1984. V. 12. № 2. P. 43.
4. Abe Y., Krimm S. // Biopolymers. 1972. V. 11. № 9. P. 1817.
5. Владимиров С. В., Маклаков Л. И., Синайский А. Г., Грасинская С. Б. // Журн. прикл. спектроскопии. 1976. Т. 25. № 3. С. 461.
6. Владимиров С. В., Арифуллин Ф. Р., Грасинская С. Б., Маклаков Л. И., Синайский А. Г. // Высокомолек. соед. А. 1977. Т. 19. № 8. С. 1713.
7. Алексеев В. В., Владимиров С. В., Маклаков Л. И., Фурер В. Л. // Журн. прикл. спектроскопии. 1978. Т. 28. № 6. С. 1046.
8. Маклаков Л. И., Фурер В. Л., Фурер А. Л., Жигарева Н. А., Алексеев В. В. // Журн. прикл. спектроскопии. 1981. Т. 34. № 2. С. 270.
9. Handhawa H. S., Rao K. G., Rao C. N. R. // Spectrochim. Acta A. 1974. V. 30. № 10. P. 1915.
10. Маклаков Л. И., Фурер В. Л., Алексеев В. В., Фурер А. Л. // Журн. прикл. спектроскопии. 1979. Т. 31. № 4. С. 691.
11. Shen D. J., Pollak S. K., Hsu S. L. // Macromolecules. 1989. V. 22. № 6. P. 2564.
12. Wyss H. R., Werder R. G., Gunthard H. S. // Spectrochim. Acta A. 1964. V. 20. № 4. P. 573.
13. Green J. H. S. // Spectrochim. Acta. A. 1970. V. 26. № 7. P. 1503.
14. Schachischneider J. H., Snyder R. G. // Spectrochim. Acta. 1963. V. 19. № 1. P. 117.
15. Jakobsen R. J., Brasch J. W., Mikawa Y. // Appl. Spectrosc. 1968. V. 23. № 6. P. 641.
16. Жигарева Н. А. // Высокомолек. соед. Б. 1990. Т. 32. № 4. С. 288.

Казанский инженерно-строительный  
институт

Поступила в редакцию  
01.06.91

УДК 541(515+64) : 542.952

© 1992 г. В. И. Колегов, М. И. Храмушина, И. Н. Юдина

#### ОСОБЕННОСТИ РАДИКАЛЬНОЙ РАЗВЕТВЛЕННОЙ ПОЛИМЕРИЗАЦИИ МОНОМЕРОВ С НЕСКОЛЬКИМИ ДВОЙНЫМИ СВЯЗЯМИ

Методом ГПХ изучена радикальная полимеризация диаллилизофталата в массе и в растворе в бензоле и диметакрилата этиленгликоля в толуоле. Установлено, что степень полимеризации линейного полимера и характер ММР форполимера диаллилизофталата практически не зависят от методов полимеризации, но при этом изменяются конверсия гелеобразования и количество линейного полимера. Использование  $\text{CCl}_4$  в качестве реакционной среды резко повышает конверсию гелеобразования и скорость полимеризации, понижает длину линейных макромолекул, но не изменяет характерные размеры разветвленных макромолекул. При полимеризации диметакрилата этиленгликоля хроматограммы форполимера имеют такой же полимодальный характер с теми же характерными размерами. Приведены значения конверсии гелеобразования ди- и триаллильных соединений, мономеров, содержащих аллильную и (мет)акрилатные группы, диметакрилата этиленгликоля, оценены конверсии, ниже которых образуется преимущественно линейный полимер. Определены средние ММ и параметры разветвленности в процессе полимеризации диаллилизофталата и диметакрилата этиленгликоля.

Ранее методом ГПХ изучали полимеризацию соединений, содержащих две и три аллильные связи, а также производных с одной аллильной и одной (мет)акрилатной группой [1-4]. В настоящей работе изложены ре-